

N  
O  
T  
R  
A  
E  
H  
I  
S  
T  
O  
R  
I  
C  
A  
E  
4  
5

G e n t

2 0 2 5



45ste Prehistoriedag  
45ème Journée de Préhistoire  
45. Tag der Ur- und Frühgeschichte  
Gent - 12.12.2025



FNRS Contactgroep  
« Prehistorie »  
Groupe de Contact FNRS  
« Préhistoire »  
Kontaktgruppe FNRS  
« Ur- und Frühgeschichte »



Agentschap  
Onroerend  
Erfgoed

#### Organisation

Isabelle De Groot  
Hans Vandendriessche, Philippe Crombé  
Universiteit Gent, Vakgroep Archeologie  
35, Sint-Pietersnieuwstraat, BE-9000 Gent  
[www.Archeos-UGent.be](http://www.Archeos-UGent.be) – [www.roam-ugent.be](http://www.roam-ugent.be)

with the collaboration of / avec la  
collaboration de / met medewerking van

Coordination scientifique / Wetenschappelijke  
coördinatie / Wissenschaftliche Koordination

Jean-Philippe Collin  
Philippe Crombé  
Marc De Bie  
Isabelle De Groot  
Anne Hauzeur  
Ivan Jadin  
Stéphane Pirson  
**Veerle Rots**  
Bart Vanmontfort  
Philip Van Peer

# Identifications de charbons de bois et de graines, et nouvelles datations radiocarbone des sites néolithiques d'Ittre « Mont-à-Henry » et Braine-l'Alleud « Paudure » (Prov. du Brabant wallon, BE)

Alexandre CHEVALIER, Michel FOURNY,  
Michel VAN ASSCHE & Olivier VRIELYNCK

Encouragés par les résultats très cohérents et riches en informations des trois récentes (2023) datations  $^{14}\text{C}$  réalisées sur des graines carbonisées du site néolithique d'Ittre « Mont-à-Henry » – qui ont rendu obsolètes les datations effectuées en 1987 (Fourny *et al.*, 1987 ; Fourny *et al.*, 2025) –, nous avons réitéré l'expérience en sélectionnant cinq échantillons supplémentaires (Fig. 1).

## 1. Critères de sélection des échantillons

Nos critères de sélection ont pris en compte les contextes archéologiques, en retenant les fosses qui présentent une bonne apparence d'homogénéité évaluée sur la base de leur contenu. Les cibles privilégiées étaient les assemblages qui montrent les meilleures accointances avec le Bischheim occidental auquel correspondent les trois datations précédentes, obtenues à partir de caryopses de blés nus (*Triticum aestivum/durum/turgidum*) (fosse 29, RICH-35040 :  $5342 \pm 25$  BP ; fosse 37, RICH-35041 :  $5418 \pm 24$  BP ; fosse 39, RICH-35042 :  $5284 \pm 26$  BP). Il importe de rappeler que la plus ancienne de ces trois dates échappe totalement à l'« aspiration » du premier plateau (entre 4260 et 4050 cal. BC) de la courbe de calibration du Néolithique moyen ce qui en fait à ce jour la date la plus fiable pour le Bischheim occidental qui est par ailleurs très mal pourvu en datations absolues. L'autre point focal est la période correspondant au Michelsberg, dans sa phase récente qui coïncide avec le second faciès lithique dont nous avons mis des indices en évidence au « Mont-à-Henry » (grandes lames et haches en silex du type de Spiennes, armatures foliacées...), tant au sein de certaines fosses que parmi les découvertes de surface (Fourny & Van Assche, 2025).

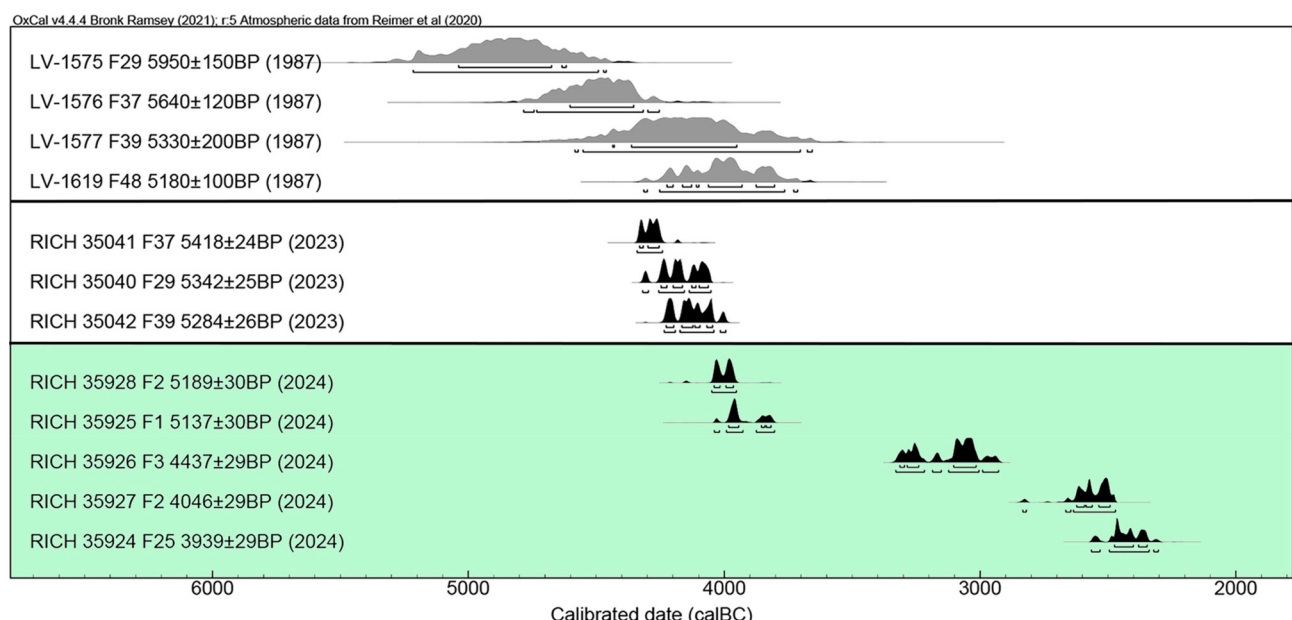


Fig. 1 – Ittre « Mont-à-Henry ». Récapitulatif des dates radiocarbone.

À défaut de graines (à l'exception d'une coquille de noisette issue de la fosse 3), il s'agissait cette fois de choisir parmi des échantillons d'espèces arbustives réduites à l'état de charbon de bois. Les identifications anthracologiques ont permis de sélectionner des espèces dont la durée moyenne de vie est la plus courte, afin d'échapper tant que possible à un éventuel «effet vieux bois». Il faut en effet se rappeler que certains arbres peuvent vivre jusqu'à 600 ans dans nos contrées. Par ailleurs, la taille des charbons ne permet en général pas d'inférer la position du bois au sein du système végétal en fonction de la courbure des lignes de croissances, ce qui permettrait d'écartier le bois de cœur pour privilégier le bois d'aubier ou des petites branches. De plus, il faut avoir à l'esprit que les charbons retrouvés peuvent provenir de bois mort ramassé et de bois de dérive, ce qui augmente la possibilité d'avoir des bois provenant d'arbres abattus ou morts depuis plusieurs années, avec donc un âge radiocarbone sans rapport précis avec la date de son utilisation.

## 2. Les nouvelles datations radiocarbone

Tandis que les trois dates obtenues précédemment étaient relativement bien groupées en un ensemble cohérent, les nouvelles mesures sont, au contraire, très disparates. Aucune ne correspond à la période attendue pour le Bischheim occidental et toutes sont situées au-delà du premier plateau de la calibration des dates du Néolithique moyen.

### 2.1. RICH-35928 et RICH-35925

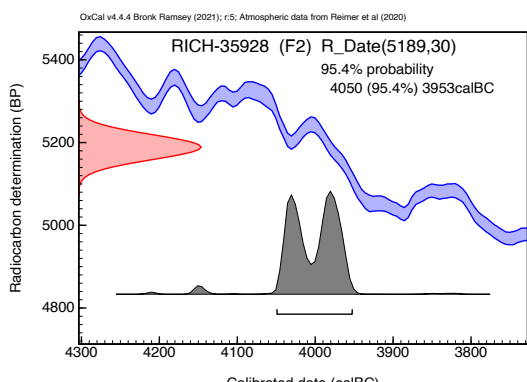
#### 2.1.1. RICH-35928

La date la plus ancienne effectuée sur du bois de fusain (fosse 2, RICH-35928 :  $5189 \pm 30$  BP ; **Fig. 2**) est très bien circonscrite. Elle se situe dans l'intervalle d'un siècle compris entre les deux plateaux de la calibration, soit précisément autour de 4000 cal. BC, à 50 ans près. Cette période coïncide avec le début de la phase de développement du second faciès lithique du Michelsberg, qui est effectivement attesté à Ittre.

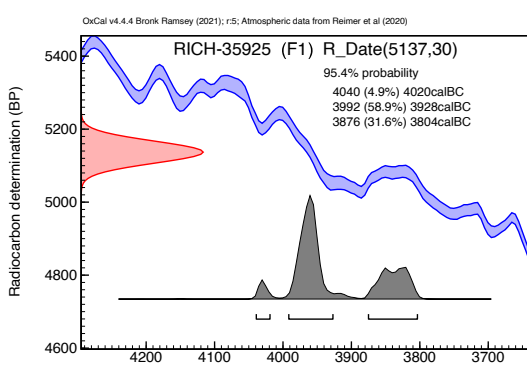
#### 2.1.2. RICH-35925

La date suivante effectuée sur du bois de noisetier (fosse 1, RICH-35925 :  $5137 \pm 30$  BP ; **Fig. 3**) recouvre très largement la précédente (RICH-35928) tout en étant englobée par le second plateau de la calibration du Néolithique moyen II (3950-3790 cal. BC). Elle échappe cependant totalement au troisième plateau (3790-3650 cal. BC) qui semble coïncider avec l'aboutissement du second faciès lithique du Michelsberg dans sa pleine évolution (Fourny *et al.*, 2021 ; Fourny *et al.*, 2025).

Nous constatons cependant que le contenu de ces deux fosses n°s 1 et 2 – exemptes de décors et de profils de céramiques caractéristiques – comprend des silex que nous attribuons à la composante Bischheim du site, en l'absence totale de silex du type de Spiennes qui aurait alors désigné le Michelsberg ou des périodes postérieures. Faut-il dès lors envisager la contamination d'une fosse Bischheim par des matériaux organiques plus récents ? À l'inverse, on ne peut écartier l'hypothèse de fosses creusées par les Michelsberg mais qui ne contiendraient que du matériel résiduel du Bischheim.



**Fig.2** – Ittre « Mont-à-Henry ». Date radiocarbone de la fosse 2. Résultat obtenu du laboratoire RICH en 2024.



**Fig.3** – Ittre « Mont-à-Henry ». Date radiocarbone de la fosse 1. Résultat obtenu du laboratoire RICH en 2024.

## 2.2. RICH-35926, RICH-35927 et RICH-35924

Les trois dates suivantes sont plus problématiques. Un saut de plusieurs siècles est franchi jusqu'à des périodes que nous n'attendions pas eu égard au matériel récolté dans les trois fosses correspondantes. Il s'agit du Néolithique récent et du Néolithique final.

### 2.2.1. RICH-35926

La première date effectuée sur une coquille de noisette (fosse 3, RICH-35926 :  $4437 \pm 29$  BP ; **Fig. 4**) coïncide avec l'étape 2 du Néolithique récent (Salanova *et al.*, 2011 ; Warmenbol, 2019 ; Toussaint *et al.*, 2024 : 356) dont les vestiges matériels ne sont pas représentés à Ittre « Mont-à-Henry » de façon manifeste.

### 2.2.2. RICH-35927

La deuxième date réalisée sur du bois de *Maleae* (fosse 2, RICH-35927 :  $4046 \pm 29$  BP ; **Fig. 5**) renverrait au Néolithique final (*Ibidem*). Elle est d'autant plus problématique qu'elle contrarie l'autre mesure effectuée dans la même fosse (RICH-35928, voir ci-dessus) et qui est nettement plus ancienne, sans aucune probabilité de recouvrement.

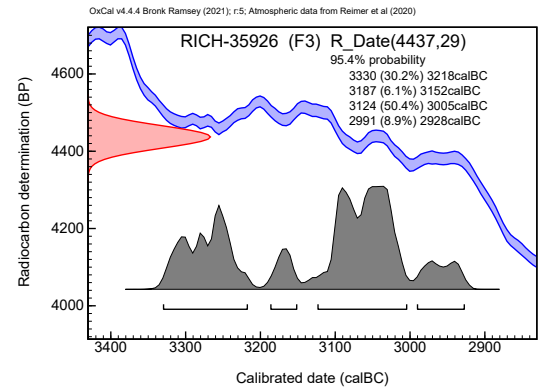
### 2.2.3. RICH-35924

Pour la troisième date également faite sur du bois de *Maleae* (fosse 25, RICH-35924 :  $3939 \pm 29$  BP ; **Fig. 6**), nous soupçonnons – en alternative au Bischheim – une appartenance au Michelsberg, en raison de la présence d'un profil de céramique également compatible avec cette attribution. Force est de constater une datation encore plus récente qui renvoie à l'époque de l'apparition du Campaniforme, au cours du Néolithique final (*Ibidem*).

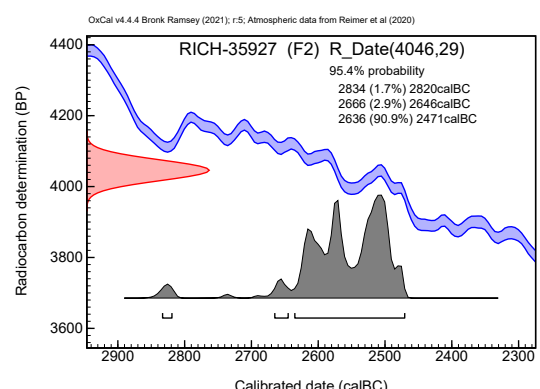
À moins de considérer à nouveau l'hypothèse d'éléments intrusifs qui fausseraient la datation en la rajeunissant, nous devons envisager que la fosse 2 a pu être creusée durant le Néolithique final, en entraînant dans son remplissage des objets résiduels. Les populations du Néolithique récent et final sont effectivement représentées au « Mont-à-Henry » par un nombre non négligeable d'armatures de flèches caractéristiques (sept exemplaires à pédoncule et ailerons plus ou moins dégagés) dont on pouvait penser qu'il s'agissait de « balles perdues », hors zone d'habitat permanent. D'autres facettes de l'outillage caractéristique qui pourrait leur être apparenté ne sont toutefois pas documentées.

## 3. Les déterminations anthracologiques

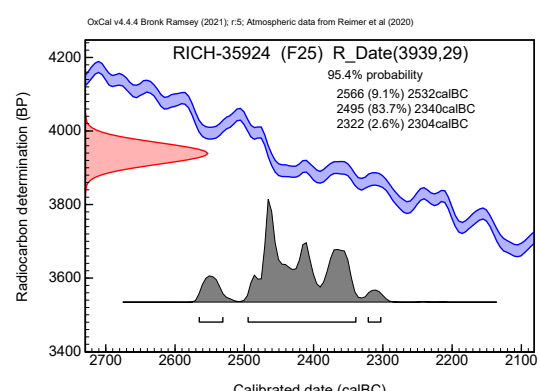
Les analyses palynologiques réalisées dans les années 1980 et 1990 par Jean Heim sur des échantillons d'Ittre « Mont-à-Henry » et de Braine-l'Alleud « Paudure » s'étaient soldées par un échec. L'intérêt des identifications des charbons de bois (**Tab. 1**) s'en trouve accru dans la recherche d'informations relatives à l'environnement naturel des deux sites, quand bien même le nombre de charbons identifiés ne permet pas d'obtenir des informations statistiquement valables quant à une identification des milieux forestiers exploités. Et il faut évidemment garder à l'esprit que les résultats des nouvelles analyses radiocarbone tempèrent l'intérêt de ces données ponctuelles qui sont très éparpillées dans le temps sur une période de deux millénaires.



**Fig. 4 –** Ittre « Mont-à-Henry ». Date radiocarbone de la fosse 3. Résultat obtenu du laboratoire RICH en 2024.



**Fig. 5 –** Ittre « Mont-à-Henry ». Date radiocarbone de la fosse 2. Résultat obtenu du laboratoire RICH en 2024.



**Fig. 6 –** Ittre « Mont-à-Henry ». Date radiocarbone de la fosse 25. Résultat obtenu du laboratoire RICH en 2024.

Contexte	Code IRSNB	Nom latin	Nom commun	Nbr	Poids (g)	<sup>14</sup> C code labo
IT84, 25D, -5/-10 cm	SR#1274	Maleae	Pommier	1	0,0811	
IT84, 25D, -5/-10 cm	SR#1275	<i>Fagus sylvatica</i> L.	Hêtre/fayard	1	0,0713	
IT84, 48, -10/-20 cm	SR#1276		Indéterminé	2		
IT84, 48C, -15/-20 cm	SR#1277		Non ligneux, amalgame matières organiques et minérales			
IT84, 48, -40/-45 cm	SR#1278		Indéterminé	8		
IT84, 1	SR#1279	<i>Fagus sylvatica</i> L.	Hêtre/fayard	3	0,0291	
IT84, 1A, -10 cm	SR#1280	<i>Quercus</i> sp.	Chêne	11	0,0712	
IT84, 1	SR#1281	<i>Fagus sylvatica</i> L.	Hêtre/fayard	1	0,1871	
		<i>Quercus</i> sp.	Chêne	1	0,0309	
IT84, 1	SR#1282	<i>Quercus</i> sp.	Chêne	11	0,0100	
			Indéterminé (écorce)	1	0,0276	
IT84, 1D, -35/-45 cm	SR#1283	<i>Quercus</i> sp.	Chêne	21	0,0854	
IT84, 1, -25 cm	SR#1284	<i>Corylus avellana</i> L.	Noisetier	6	0,1329	RICH-35925
IT84, 3B, -5 cm	SR#1285	<i>Ulmus</i> sp.	Orme	1	0,0397	
IT84, 3B, -5 cm	SR#1286	<i>Ulmus</i> sp.	Orme	1	0,0158	
IT84, 3C, -5 cm	SR#1287	<i>Ulmus</i> sp.	Orme	3	0,1806	
IT84, 3C, -15/-20 cm	SR#1288	<i>Ulmus</i> sp.	Orme	1	0,0627	
IT84, 3C, -15/-20 cm	SR#1289	<i>Ulmus</i> sp.	Orme	1	0,0910	
		<i>Alnus</i> sp.	Aulne	1	0,1021	
IT84, 3A	SR#1290	<i>Ulmus</i> sp.	Orme	1	0,0748	
		<i>Prunus</i> sp.	Prunellier	1	0,1115	
IT84, 3A, -25 cm	SR#1291	<i>Quercus</i> sp.	Chêne	1	0,1465	
IT84, 3C, -35 cm	SR#1292	<i>Quercus</i> sp.	Chêne	1	0,0425	
IT84, 3B	SR#1293	<i>Corylus avellana</i> L.	Noisetier	1	0,1208	RICH-35926
IT84, 3A, -10/-20 cm	SR#1294	<i>Quercus</i> sp.	Chêne	1	0,0216	
		<i>Ulmus</i> sp.	Orme	1	0,0559	
		<i>Prunus</i> sp.	Prunellier	2	0,4611	
IT84, 3B	SR#1295	<i>Ulmus</i> sp.	Orme	2	0,1346	
IT84, 3B, -10 cm	SR#1296	<i>Ulmus</i> sp.	Orme	2	0,0394	
		<i>Corylus avellana</i> L.	Noisetier	2	0,1138	
IT84, 3B, -30 cm	SR#1297	<i>Ulmus</i> sp.	Orme	3	0,1027	
IT84, 3B, -30 cm	SR#1298	<i>Ulmus</i> sp.	Orme	3	0,4637	
		Maleae	Pommier	1	0,0446	
IT84, 2B, -10/-15 cm	SR#1303	<i>Quercus</i> sp.	Chêne	3	0,2114	
IT84, 2C, -20/-30 cm	SR#1304	<i>Fagus sylvatica</i> L.	Hêtre/fayard	2	0,1565	
			Indéterminé	1		
IT84, 2D, -15/-20 cm	SR#1305	<i>Quercus</i> sp.	Chêne	9	0,2037	
		Maloideae	Pommier	1	0,0119	
IT84, 2D, -20/-25 cm	SR#1306	<i>Fagus sylvatica</i> L.	Hêtre/fayard	3	0,2445	
		<i>Quercus</i> sp.	Chêne	5	0,0789	
		Maleae	Pommier	6	0,0781	
IT84, 2A, -20 cm	SR#1307	<i>Euonymus europaea</i> L.	Fusain	1	0,3251	RICH-35928
IT84, 2B, -15/-20 cm	SR#1308		Céramique			
IT84, 2B, -15/-20 cm	SR#1309	<i>Quercus</i> sp.	Chêne	2	0,1239	
IT84, 2D, -10/-15 cm	SR#1310	<i>Fagus sylvatica</i> L.	Hêtre/fayard	2	0,0174	
		<i>Quercus</i> sp.	Chêne	1	0,1753	
IT84, 2D, -10/-20 cm	SR#1311	<i>Quercus</i> sp.	Chêne	3	0,0276	
		Maleae	Pommier	3	0,0443	
IT84, 2B, -30/-35 cm	SR#1312		Rien			
IT84, 2D, -15/-20 cm	SR#1313	<i>Alnus</i> sp.	Aulne	1	0,1919	
IT84, 2B, -20 cm	SR#1314	Maleae	Pommier	2	0,1257	RICH-35927

Tab. 1 – Espèces présentes dans les différents contextes étudiés du site d'Ittre « Mont-à-Henry » (Chevalier, 2024).

### 3.1. Ittre « Mont-à-Henry »

De manière générale les espèces en présence au « Mont-à-Henry » font penser à une phytosociologie de type chênaie-hêtraie mixte, très courante en Belgique depuis l'Atlantique, avec des taxons de lisière comme les *Maleae*<sup>1</sup>, le noisetier, le fusain et le prunellier. La quasi-absence d'aulne, essence de milieux plutôt humides, plaiderait pour une forêt tempérée décidue et mixte peu humide, mais la très forte présence de l'orme dans certains contextes irait dans le sens contraire, en indiquant un milieu relativement humide. Toutefois, il faut noter que l'orme n'est présent que dans le contexte 3 (A-C) ce qui indiquerait surtout une sélection de cette essence dans le cadre des activités qui y ont été menées, plutôt qu'un échantillon représentatif du milieu forestier local, d'autant plus qu'il est nettement plus héliophile que les espèces forestières types mentionnées (chêne, hêtre).

### 3.2. Braine-l'Alleud « Paudure »

Il en va de même avec le site de Braine-l'Alleud « Paudure » (Tab. 2) dont la végétation ligneuse présente une composition presque identique à celle d'Ittre mais probablement plus humide et acidophile, car l'aulne, le peuplier, le charme, et le bouleau sont plus ubiquistes. On aurait ainsi une exploitation d'une forêt de type chênaie-charmaie subatlantique acidocline de substitution à la hêtraie G1.A1cb (<https://biodiversite-old.wallonie.be>). Les taxons de lisière sont nettement moins nombreux, et ne comptent que des *Maleae* et le fusain. La présence de ce dernier taxon à « Paudure » et au « Mont-à-Henry » est particulière dans le sens où il est peu commun de le retrouver dans les sites archéologiques belges plus tardifs : a-t-il eu un rôle spécifique au Néolithique moyen-final ? Ou le couvert forestier, et en particulier ses lisières, était-il spécifique au point de le voir apparaître plus systématiquement ? Mais il ne s'agit peut-être là que d'un artefact de la recherche ; seul l'avenir nous le dira.

## 4. Conclusion

À Ittre, trois datations correspondant au Bischheim occidental ont été réalisées en 2023 sur des caryopses de blés nus (*Triticum aestivum/durum/turgidum*), donnant un très bon indice d'homogénéité des trois fosses qui les contenaient en association avec du matériel lithique et céramique *ad hoc*. Et ce, en dépit de la présence en leur sein de quelques objets en leur sein caractéristiques du Michelsberg, que nous considérons comme intrusifs.

Dans la foulée, cinq nouvelles datations ont été réalisées en 2024 sur des charbons de bois. Aucune de ces dates ne vient renforcer les trois premières ; elles sont toutes plus récentes et sans possibilité de recouvrement statistique. Deux d'entre elles indiquent le Michelsberg accompli, à l'époque où l'industrie lithique du Néolithique moyen II comporte des pointes de flèches foliacées et des produits spécialisés (grandes lames, haches) issus des minières de Spiennes. Ces bons marqueurs chronologiques sont effectivement présents au « Mont-à-Henry », quoique minoritaires.

Les trois dates les plus jeunes correspondent au Néolithique récent et au Néolithique final. Le premier n'a pas laissé de trace manifeste sur le « Mont-à-Henry », tandis que le second n'est attesté que par des armatures de flèches récoltées en surface.

Cette diversité dans les datations absolues n'est pas surprenante, vu le caractère multi-périodes des objets récoltés sur le site.

1. Sous-groupe taxonomique de la famille des Rosacées, qui comprend entre autres les pommes, poires, coings, ou encore les amélanchiers ou néfliers.

Contexte	Code IRSNB	Nom latin	Nom commun	Nbr	Poids (g)	$^{14}\text{C}$ code labo
BRALL86PDR, F1, prolongement, -10 cm	SR#1081	<i>Quercus</i> sp.	Chêne	7	5.1865	
BRALL86PDR, F1	SR#1082	<i>Quercus</i> sp	Chêne	1	0.1093	
		Maleae	Pommier	1	0.0116	
		Indéterminé		2	0.1171	
BRALL86PDR, F1	SR#1082b	<i>Alnus</i> sp.	Aulne	1	0.0292	
BRALL86PDR, F1, décapage z = 0	SR#1083	<i>Quercus</i> sp.	Chêne	3	0.2219	
		<i>Fagus sylvatica</i> L.	Hêtre	2	0.6800	
BRALL86PDR, F1, C, -20/-30 cm	SR#1084	<i>Quercus</i> sp.	Chêne	6	0.1176	
		cf. <i>Populus</i>	Peuplier	2	0.0419	
BRALL86PDR, F1, B, -10/-20 cm	SR#1085	<i>Quercus</i> sp.	Chêne	4	0.2862	
BRALL86PDR, F1, A, -10/-20 cm	SR#1086	<i>Alnus</i> sp.	Aulne	1	0.0588	
		<i>Fagus sylvatica</i> L.	Hêtre	1	0.1407	
		Indéterminé		1	0.0307	
BRALL86PDR, F1	SR#1087	Maleae	Pommier	1	0.0443	
BRALL86PDR, F1, D, -10/-20 cm	SR#1088	<i>Quercus</i> sp.	Chêne	3	0.0786	
		Maleae	Pommier	1	0.0279	
		<i>Ulmus</i> sp.	Orme	9	0.0623	
BRALL86PDR, F1, D, -10/-20 cm	SR#1089		Os			
BRALL86PDR, F1, E	SR#1090	<i>Quercus</i> sp.	Chêne	17	0.3038	
		Maleae	Pommier	1	0.0432	
		<i>Alnus</i> sp.	Aulne	1	0.0343	
BRALL86PDR, F1, -20/-35 cm	SR#1091	<i>Carpinus betulus</i> L.	Charme	15	0.1639	
		Indéterminé		1	0.0822	
BRALL86PDR, F2, -20 cm/fond	SR#1093	<i>Fagus sylvatica</i> L.	Hêtre	1	0.0851	RICH-34790
BRALL86PDR, F1, F	SR#1094	<i>Quercus</i> sp.	Chêne	75	4.0934	
		<i>Alnus</i> sp.	Aulne	1	0.0268	
		<i>Populus</i> sp.	Peuplier	6	0.0518	
		<i>Euonymus</i> sp.	Fusain	2	0.906	
		Indéterminé		3	0.0856	
BRALL86PDR, F1, D, fond (-40 cm)	SR#1095	<i>Quercus</i> sp.	Chêne	2	0.0990	
		<i>Alnus</i> sp.	Aulne	1	0.0326	
		<i>Populus</i> sp.	Peuplier	2	0.0634	
		<i>Betula</i> sp.	Bouleau	4	0.0381	RICH-34788
		Indéterminé		16	0.5230	
BRALL86PDR, F2, D, -20/-30 cm	SR#1096		Os			
BRALL86PDR, F1, D, -20/-30 cm	SR#1098	<i>Quercus</i> sp.	Chêne	11	0.1962	
		<i>Alnus</i> sp.	Aulne	7	0.0122	RICH-34789

**Tab. 2** – Espèces présentes dans les différents contextes étudiés du site de Braine-l'Alleud « Paudure » (Chevalier, 2022). Les datations  $^{14}\text{C}$  sont publiées dans Fourny *et al.*, 2025 : 89.

### Bibliographie

FOURNY M., VAN ASSCHE M., GILOT É. & HEIM J., 1987. Le site d'habitat néolithique épi-Roessen/Michelsberg du « Mont-à-Henry » à Ittre (Belgique, Brabant). *Helinium*, XXVII/1 : 46-56.

FOURNY M., VAN ASSCHE M., BYL S. & PARIDAENS N., 2021. Bilan de trois campagnes de fouilles (2018-2020) au site Néolithique moyen II du « Bois du Grand Bon Dieu » à Thuin. Nouvelles clefs pour une meilleure définition d'un faciès récent de l'industrie lithique du Michelsberg en Belgique. *Notae Praehistoricae*, 41/2021 : 107-120.

FOURNY M. & VAN ASSCHE M., 2025. Ittre « Mont-à-Henry » (Prov. du Brabant wallon, BE), révision du diagnostic, 40 ans après... Michelsberg ou Bischheim ? *Notae Praehistoricae*, 45/2025 : 95-120.

FOURNY M., VAN ASSCHE M. & VRIEYNCK O., 2024 [2025]. Essai d'ajustement de la chronologie absolue de la fin du Bischheim et du Michelsberg en Belgique, dans la perspective des industries lithiques. *Notae Praehistoricae*, 44/2024 : 87-107.

TOUSSAINT M., PIRSON S. & CAUWE N., 2024. Du Néolithique récent au Chalcolithique. In : Otte M. (dir.) & Jungels C. (coord.), *Les territoires culturels entre Seine et Rhin. De la Préhistoire à l'an 1000*, Édition du Préhistomuseum, en collaboration avec la Commission royale des Monuments, Sites et Fouilles, Flémalle : 356-380.

SALANOVA L., BRUNET P., COTTIAUX R., HAMON T., LANGRY-FRANÇOIS F., MARTINEAU R., POLLONI A., RENARD C. & SOHN M., 2011. Du Néolithique récent à l'âge du Bronze dans le centre Nord de la France : les étapes de l'évolution chrono-culturelle. In : Bostyn F., Martial E. & Praud I. (dir.), *Le Néolithique du nord de la France dans son contexte européen. Habitat et économie aux 4<sup>e</sup> et 3<sup>e</sup> millénaires avant notre ère. Actes du 29e colloque interrégional sur le Néolithique, Villeneuve-d'Ascq, 2-3 octobre 2009* (= *Revue archéologique de Picardie*, n° spécial 28), Amiens : 77-101.

WARMENBOL E., 2019. La fin du Néolithique et le début des âges des Métaux en Belgique. Nouvelles découvertes, nouvelles datations. In : Montoya C., Fagnart J.-P. & Locht J.-L. (dir.), *Préhistoire de l'Europe du Nord-Ouest : mobilités, climats et identités culturelles. Actes du XVIII<sup>e</sup> Congrès préhistorique de France, Amiens, 30 mai - 4 juin 2016. Volume 3. Néolithique - Âge du Bronze*, Société préhistorique française, Paris : 252-257.

<https://biodiversite-old.wallonie.be> (consulté le 08/10/2025).

### Documents inédits

CHEVALIER A., 2022. *Site de Paudure – Braine-l'Alleud : analyse de charbon de bois pour identification d'essences en vue de datation <sup>14</sup>C*. Institut royal des Sciences naturelles de Belgique, rapport inédit, Bruxelles : 6 p.

CHEVALIER A., 2024. *Site de Ittre – Mont-à-Henry : analyse de charbon de bois pour identification d'essences en vue de datation <sup>14</sup>C*. Institut royal des Sciences naturelles de Belgique, rapport inédit, Bruxelles : 7 p.

## Résumé

Cette contribution fait état d'un ensemble de nouvelles datations  $^{14}\text{C}$  réalisées sur des graines et des charbons de bois des sites de Paudure (Braine-l'Alleud, BE) et de Mont-à-Henry (Ittre, BE) qui permettent de mieux situer chronologiquement différentes structures de ces deux sites, au Néolithique récent et au Néolithique final, et de caractériser leurs environnements forestiers respectifs.

**Mots-clés :** Braine-l'Alleud « Paudure » (Brabant wallon, BE), Ittre « Mont-à-Henry » (Brabant wallon, BE), Néolithique récent, Néolithique final, Michelsberg, Bischheim, datation radiocarbone,  $^{14}\text{C}$ .

## Abstract

This article reports on a series of new  $^{14}\text{C}$  dating sets carried out on seeds and wood charcoals from the Paudure (Braine-l'Alleud, BE) and Mont-à-Henry (Ittre, BE) sites. The results provide a more accurate chronological framework for the various structures at these two sites, dating them to the Late Neolithic and Final Neolithic periods, and allow use to reconstitute their respective forest cover environments.

**Keywords:** Braine-l'Alleud "Paudure" (Walloon Brabant, BE), Ittre "Mont-à-Henry" (Walloon Brabant, BE), Late Neolithic, Final Neolithic, Michelsberg, Bischheim, radiocarbon dating,  $^{14}\text{C}$ .

Alexandre CHEVALIER  
Institut des Sciences Naturelles  
29, rue Vautier  
BE-1000 Bruxelles  
*achevalier@naturalsciences.be*

Michel FOURNY  
Société royale d'Archéologie de Bruxelles (SRAB)  
c/o Université libre de Bruxelles  
50, CP 133, avenue F. Roosevelt  
BE-1050 Bruxelles  
*michel.fourny61@gmail.com*

Michel VAN ASSCHE  
Recherches et Prospections Archéologiques (RPA)  
52, avenue des Aubépines  
BE-1480 Clabecq (Tubize)  
*van.assche.m@skynet.be*

Olivier VRIEYNCK  
Agence wallonne du Patrimoine  
Direction scientifique et technique  
1, rue des Brigades d'Irlande  
BE-5100 Jambes  
*olivier.vrielynck@awap.be*

*Table des matières - Inhaltsverzeichnis - Inhoudstafel*

Philippe CROMBÉ, Camille PIRONNEAU, Prudence ROBERT,  
Mathieu BOUDIN, Michel TOUSSAINT, Pierre VAN DER SLOOT,  
Sophie VERHEYDEN, Isabelle DE GROOTE & Hans VANDENDRIESSCHE

New radiocarbon dates for the Late Glacial occupations  
(Ahrensburgian & Magdalenian) at "Grotte du Coléoptère"  
(Bomal-sur-Ourthe, Prov. of Luxembourg, BE) 5-11

Philippe CROMBÉ & Éva HALBRUCKER

Hidden under Bronze Age barrows: prehistoric finds  
(Final Palaeolithic, Mesolithic and Neolithic) excavated  
at the Muziekberg in Ronse (East Flanders, BE) 13-33

Christian FRÉBUTTE, Julien DENAYER, Marie HORVILLER,  
Geoffrey HOUTRECHTS, Jean-Marc MARION, Stéphane PIRSON,  
Mathieu BOUDIN, Alexandre CHEVALIER & Olivier COLLETTE

Les zones 2 et 3 du « Champ de la longue Pierre » dans le  
complexe mégalithique de Wéris (Prov. de Luxembourg, BE) 35-64

Éric GOEMAERE, Laurence CAMMAERT, Dominique BONJEAN,  
Mark GOLITKO, Thomas GOVAERTS, Thierry LEDUC  
& Yves VANBRABANT

Un pigment noir aux grottes de Goyet (Mozet, Gesves, BE)  
similaire au pigment noir de la grotte Scladina (Sclayn, Andenne, BE) 65-79

Stien LECLUYZE, Marc DE BIE & Dirk VANDER HULST

Middenneolithicum in Bertem (prov. Vlaams-Brabant, BE):  
drie nieuwe ensembles van lithische prospectievondsten  
in hun ruimere context 81-93

Michel FOURNY & Michel VAN ASSCHE

Ittre « Mont-à-Henry » (Prov. du Brabant wallon, BE), révision  
du diagnostic, 40 ans après... Michelsberg ou Bischheim ? 95-120

Alexandre CHEVALIER, Michel FOURNY, Michel VAN ASSCHE  
& Olivier VRIELYNCK

Identifications de charbons de bois et de graines, et nouvelles  
datations radiocarbone des sites néolithiques d'Ittre « Mont-à-Henry »  
et Braine-l'Alleud « Paudure » (Prov. du Brabant wallon, BE) 121-128

Jan Willem P. VAN DER DRIFT	
Oblique Bipolar Flaking and the Mode-1to Mode-2 transition	129-136
Marjolein VAN DER WAA, Marijn VAN GILS, Dave GEERTS & Bart VANMONTFORT	
De toevalsvondst van een finaalpaleolithische vindplaats in Opgrimbie-Kikbeek (Prov. Limburg, BE)	137-144
Dimitri TEETAERT, Daan CELIS, Frédéric CRUZ, Samuel BODÉ, Lucy KUBIAK-MARTENS, Koen DEFORCE, Coralie ANDRÉ, Elliot VAN MALDEGEM, Lies DIERCKX, Veerle HENDRIKS, Femke MARTENS & Philippe CROMBÉ	
Another site of the Swifterbant Culture in the Lower Scheldt valley: finds from A600 Scheldetunnel Linkeroever (Antwerp, BE)	145-163
Table des matières - Inhaltsverzeichnis - Inhoudstafel - Table of content	165-166